

スリーサイトヒッグスレスモデル におけるフレーバーの物理

阿部智広（名古屋大学）

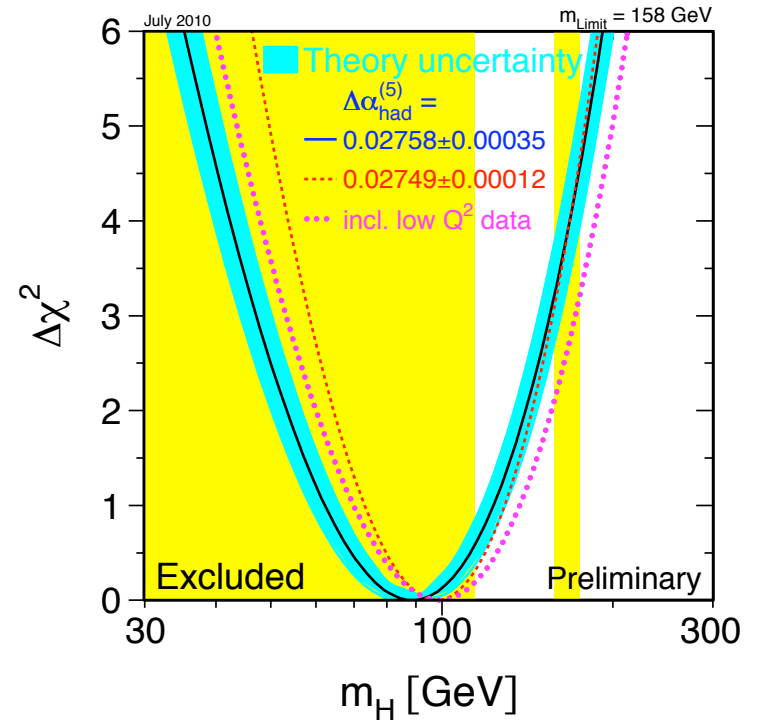
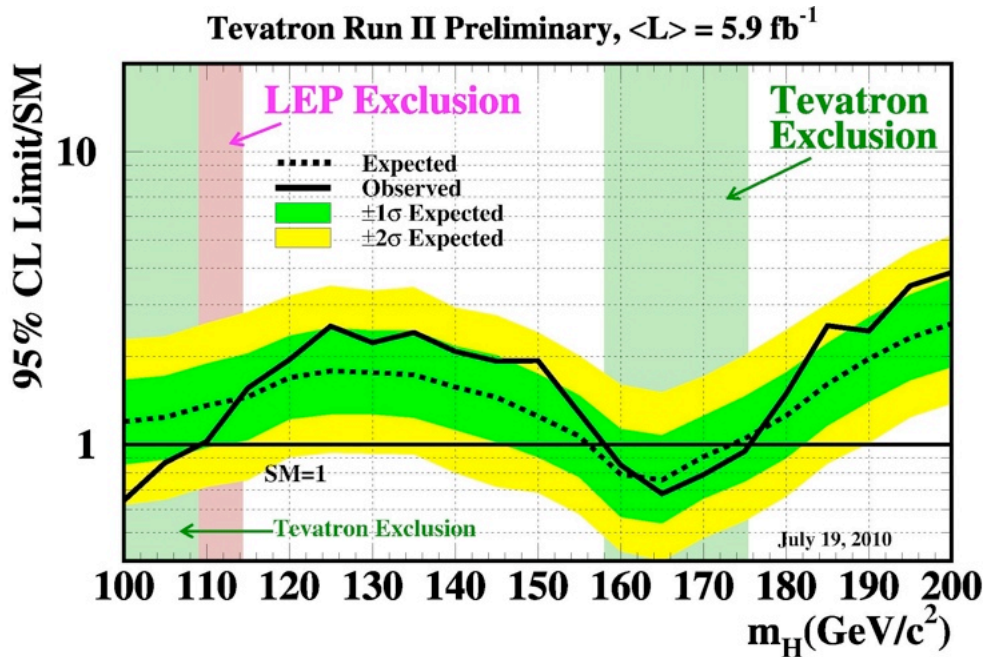
2011年 3月 7日

基研研究会 素粒子物理学の発展 2011

内容

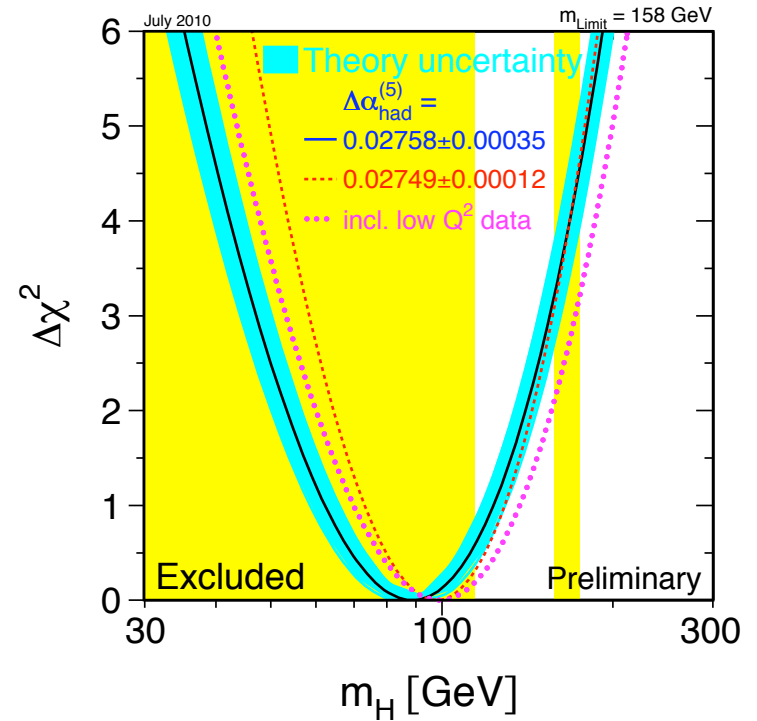
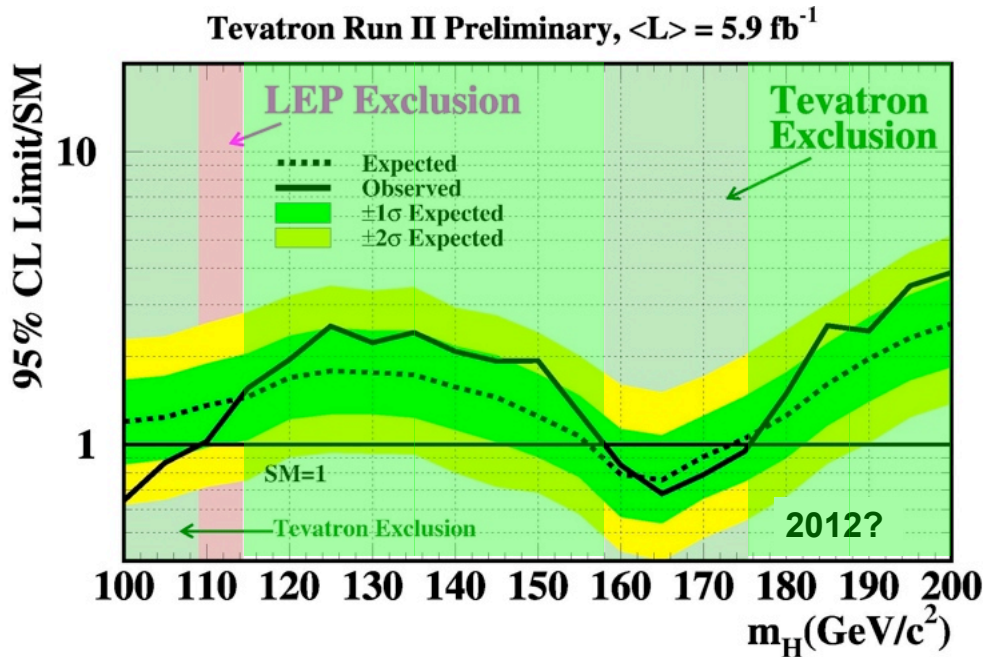
1. 研究の目的など
2. スリーサイトヒッグスレス模型
3. フレーバーの物理からの制限
4. まとめ

イントロダクション



ヒッグスの存在しない可能性

イントロダクション



ヒッグスの存在しない可能性

イントロダクション

ヒッグスがない模型の乗り越えるべき事柄

- 電弱対称性の破れの起源 (質量の起源)
- (摂動論的) ユニタリティーの問題
- 精密測定との整合性



- Technicolor (非摂動論的)
- **Higgsless** (摂動論的)
- ...

Electroweak Chiral Lagrangian

$SU(2)_L \times U(1)_Y \rightarrow U(1)$ の有効理論

$$\mathcal{L} = \frac{v^2}{4} \text{tr}(D_\mu U)^\dagger (D^\mu U) - \bar{\psi}_L U \begin{pmatrix} m_u & \\ & m_d \end{pmatrix} \begin{pmatrix} u_R \\ d_R \end{pmatrix} + (\text{matter}) + (\text{gauge})$$

$U = \exp\left(i \frac{\tau^a \pi^a}{v}\right)$: would-be NG boson の非線形表現

$$U \rightarrow g_L U g_Y^{-1}$$
$$g_L = \exp\left(i \frac{\tau^a}{2} \theta_L^a\right)$$
$$g_Y = \exp\left(i \frac{\tau^3}{2} \theta_Y\right)$$

- 摂動論的ユニタリティー : $\sim 1\text{TeV}$ で破れる
- 精密測定との整合性 : S, T parameters

Electroweak Chiral Lagrangian

ゲージ場を増やす

M.Bando et.al Nucl.Phys. B259 (1985) 493

$SU(2)_0 \times SU(2)_1 \times U(1)_2 \rightarrow U(1)$ の有効理論

$$\mathcal{L} \ni \frac{f_1^2}{4} \text{tr}(D_\mu U_1)^\dagger (D^\mu U_1) + \frac{f_2^2}{4} \text{tr}(D_\mu U_2)^\dagger (D^\mu U_2)$$

$$U_i = \exp\left(i \frac{\tau^a \pi_i^a}{f_i}\right)$$

$$U_1 \rightarrow g_0 U_1 g_1^{-1}$$

$$U_2 \rightarrow g_1 U_2 g_2^{-1}$$

$$\frac{1}{v^2} = \frac{1}{f_1^2} + \frac{1}{f_2^2}$$

摂動論的ユニタリティー

$$i\mathcal{M}(W_L^a W_L^b \rightarrow W_L^c W_L^d) =$$

破れるスケールがあがる ($\sim 2\text{TeV}$)

Unitarity and infinite gauge fields

無限個のゲージ場 \longrightarrow 完全に回復

$$i\mathcal{M}(W_L^a W_L^b \rightarrow W_L^c W_L^d) = \text{[diagram 1]} + \text{[diagram 2]} + \text{[diagram 3]} + \dots + \text{crossed.}$$

Csaki et.al Phys.Rev.D69:055006,2004
 Chivukula et.al Phys.Lett.B 525, 175(2002)
 Chivukula et.al Phys.Lett.B 562, 109(2003)

余剰次元的な描像

4次元での $SU(2) \times SU(2) \times SU(2) \times SU(2) \times \dots$



deconstruction

Arkani-Hamed et.al PRL86 (2001) 4757-4761
 Hill et.al PRD64 (2001) 105005

5次元での $SU(2)$

Effective Higgsless model

フェルミオンも増やす

- $i\mathcal{M}(f\bar{f} \rightarrow W_L W_L)$ のユニタリティー
- 精密測定との兼ね合い(S parameter)

Effective Higgsless model

フェルミオンも増やす

- $i\mathcal{M}(f\bar{f} \rightarrow W_L W_L)$ のユニタリティー
- 精密測定との兼ね合い(S parameter)

$$W, W', W'', W''', \dots$$
$$f, f', f'', f''', \dots$$

Effective Higgsless model

フェルミオンも増やす

- $i\mathcal{M}(f\bar{f} \rightarrow W_L W_L)$ のユニタリティー
- 精密測定との兼ね合い(S parameter)

$$\begin{array}{l} W, W', W'', W''', \dots \\ f, f', f'', f''', \dots \end{array}$$

Effective Higgsless model

フェルミオンも増やす

- $i\mathcal{M}(f\bar{f} \rightarrow W_L W_L)$ のユニタリティー
- 精密測定との兼ね合い(S parameter)

$$\begin{array}{cccc} W, W', & W'', & W''', & \dots \\ f, f', & f'', & f''', & \dots \end{array}$$

3site Higgsless model

一度に多くの模型の現象論を扱える

内容

1. 研究の目的など
2. スリーサイトヒッグスレス模型
3. フレーバーの物理からの制限
4. まとめ

3site Higgsless Model

Chivukula et.al Phys.Rev.D74:075011 (2006)
Casalbuoni et.al Phys.Lett.B155(1985) 95

Extra particles

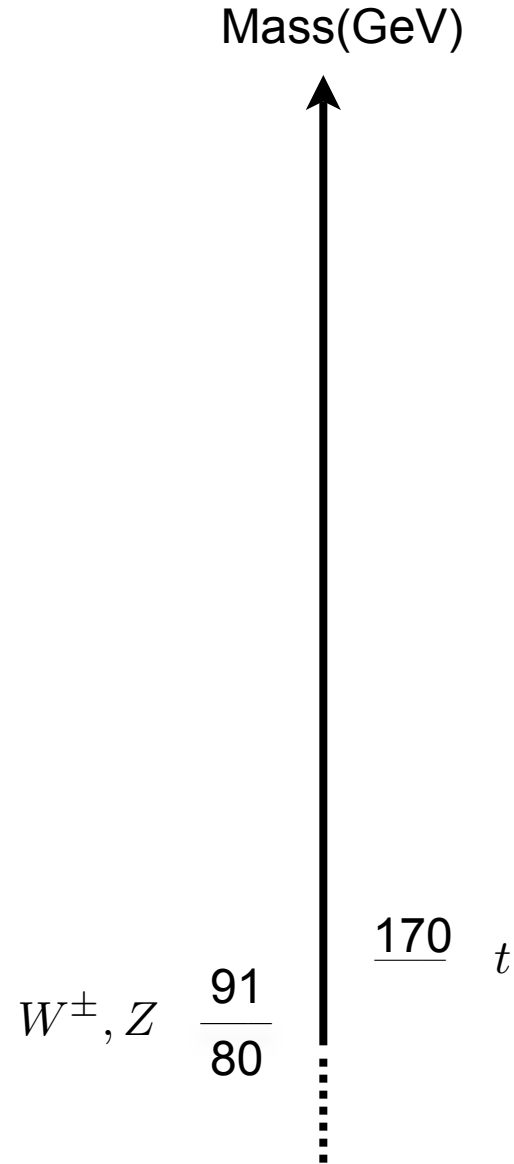
$$\begin{pmatrix} u' & c' & t' \\ d' & s' & b' \end{pmatrix} \begin{pmatrix} \nu'_e & \nu'_\mu & \nu'_\tau \\ e' & \mu' & \tau' \end{pmatrix}$$

$W' Z'$

SM particles

$$\begin{pmatrix} u & c & t \\ d & s & b \end{pmatrix} \begin{pmatrix} \nu_e & \nu_\mu & \nu_\tau \\ e & \mu & \tau \end{pmatrix}$$

$\gamma W Z G$



3site Higgsless Model

Chivukula et.al Phys.Rev.D74:075011 (2006)
 Casalbuoni et.al Phys.Lett.B155(1985) 95

Extra particles

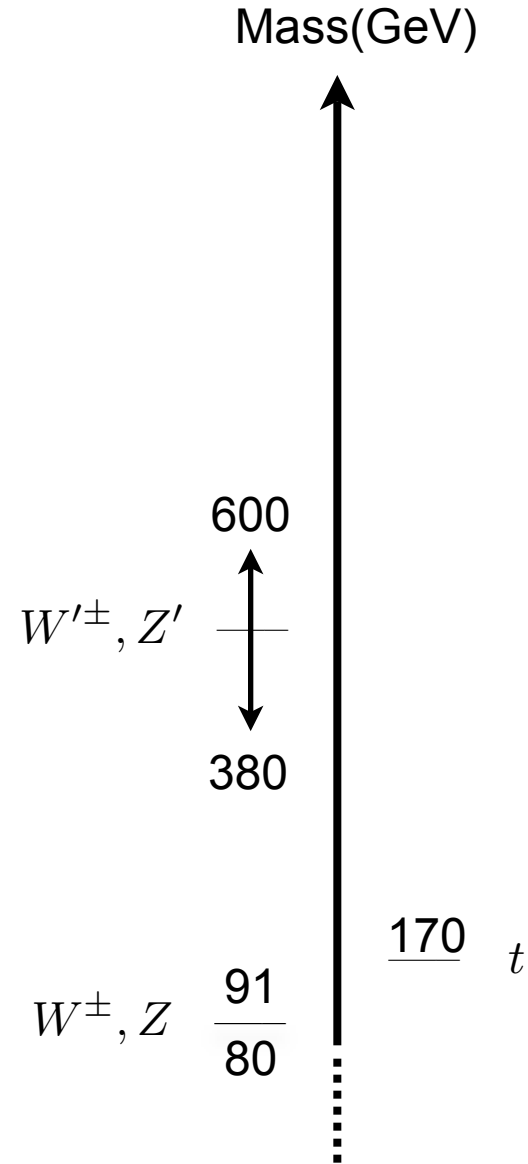
$$\begin{pmatrix} u' & c' & t' \\ d' & s' & b' \end{pmatrix} \begin{pmatrix} \nu'_e & \nu'_\mu & \nu'_\tau \\ e' & \mu' & \tau' \end{pmatrix}$$

$W' Z'$

SM particles

$$\begin{pmatrix} u & c & t \\ d & s & b \end{pmatrix} \begin{pmatrix} \nu_e & \nu_\mu & \nu_\tau \\ e & \mu & \tau \end{pmatrix}$$

$\gamma W Z G$



3site Higgsless Model

Chivukula et.al Phys.Rev.D74:075011 (2006)
 Casalbuoni et.al Phys.Lett.B155(1985) 95

Extra particles

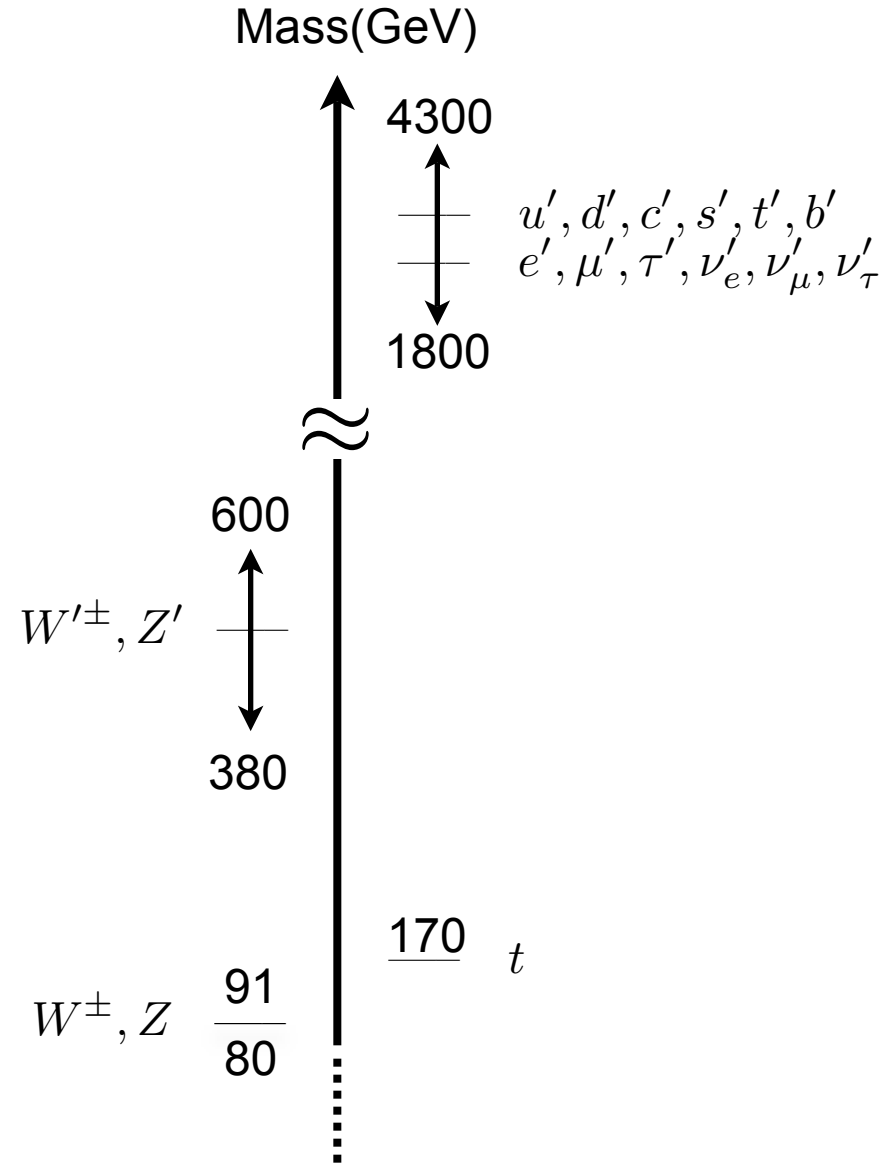
$$\begin{pmatrix} u' & c' & t' \\ d' & s' & b' \end{pmatrix} \begin{pmatrix} \nu'_e & \nu'_\mu & \nu'_\tau \\ e' & \mu' & \tau' \end{pmatrix}$$

$W' Z'$

SM particles

$$\begin{pmatrix} u & c & t \\ d & s & b \end{pmatrix} \begin{pmatrix} \nu_e & \nu_\mu & \nu_\tau \\ e & \mu & \tau \end{pmatrix}$$

$\gamma W Z G$



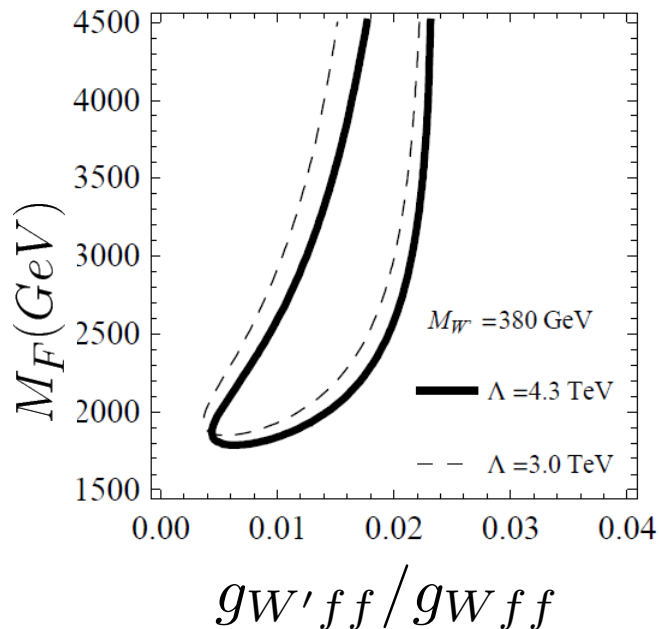
Fermiphobic

特徴：fermiophobic (STパラメータからの制限)

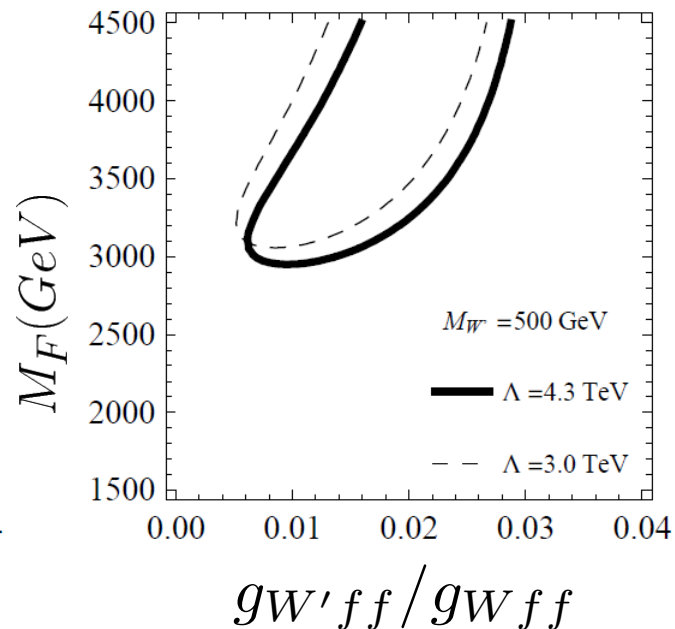
$$g_{W'ff}/g_{Wff} \sim \mathcal{O}(10^{-2})$$

Matsuzaki, Tanabashi, T.A,
Phys.Rev.D78:055020,2008

$$\underline{M_{W'} = 380\text{GeV}}$$



$$\underline{M_{W'} = 500\text{GeV}}$$



内容

1. 研究の目的など
2. スリーサイトヒッグスレスモデル
3. フレーバーの物理からの制限
4. まとめ

Flavor physics in 3site Model

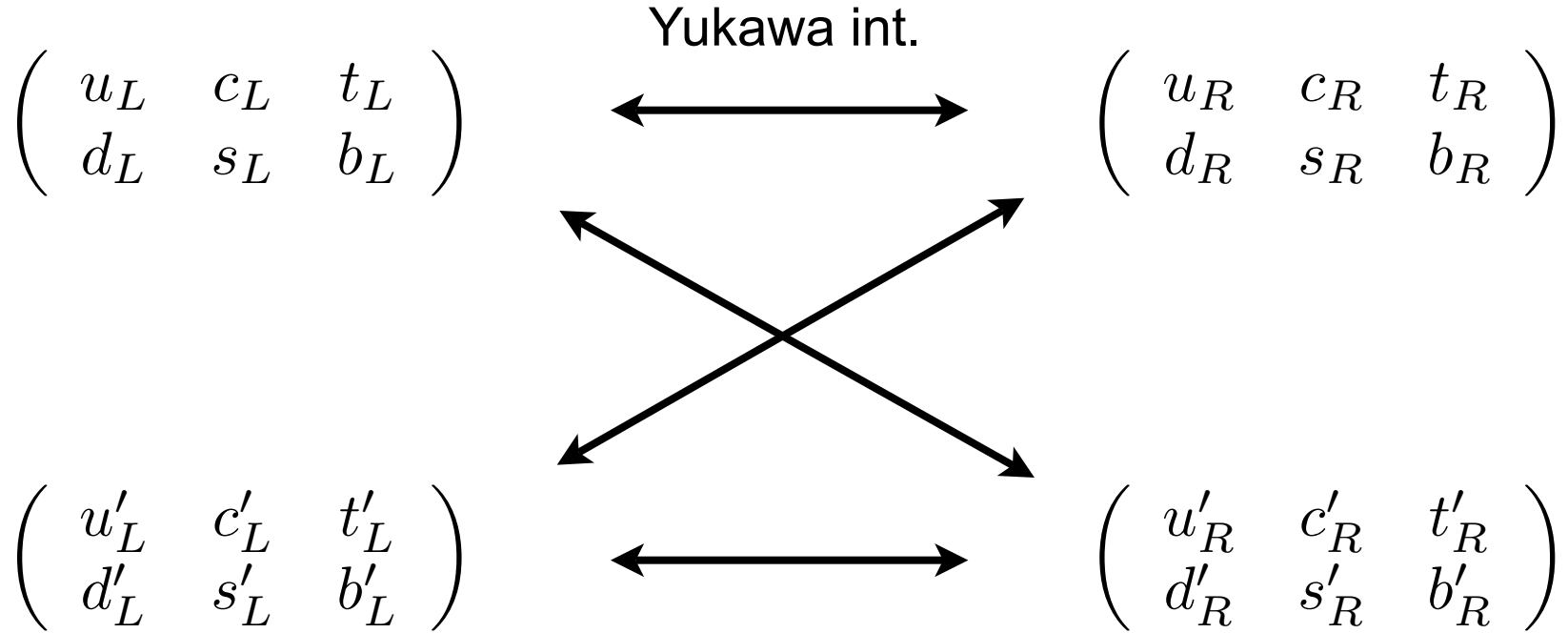
$$\begin{pmatrix} u_L & c_L & t_L \\ d_L & s_L & b_L \end{pmatrix} \begin{array}{c} \text{Yukawa int.} \\ \longleftrightarrow \end{array} \begin{pmatrix} u_R & c_R & t_R \\ d_R & s_R & b_R \end{pmatrix}$$

Flavor physics in 3site Model

$$\begin{pmatrix} u_L & c_L & t_L \\ d_L & s_L & b_L \end{pmatrix} \begin{array}{c} \text{Yukawa int.} \\ \longleftrightarrow \end{array} \begin{pmatrix} u_R & c_R & t_R \\ d_R & s_R & b_R \end{pmatrix}$$

$$\begin{pmatrix} u'_L & c'_L & t'_L \\ d'_L & s'_L & b'_L \end{pmatrix} \qquad \begin{pmatrix} u'_R & c'_R & t'_R \\ d'_R & s'_R & b'_R \end{pmatrix}$$

Flavor physics in 3site Model



- Many Yukawa interactions
- Large FCNC?

At tree level

There are FOUR 3x3 matrices

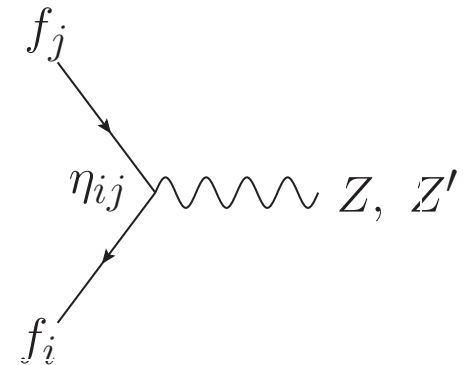
$$m_1, M, m_{2u}, m_{2d}$$

Source of FCNC @ tree level

By Integrating out the KK fermions

$$\eta^{ij} (\bar{\psi}_L)^i \left[\gamma^\mu (iD_\mu U_1) U_1^\dagger \right] (\psi_L)^j$$

$$\eta^{ij} = [(m_1 M^{-1})(m_1 M^{-1})^\dagger]^{ij}$$



To avoid FCNC



$$m_1^{ij} \propto \delta^{ij}, \quad M^{ij} \propto \delta^{ij}$$

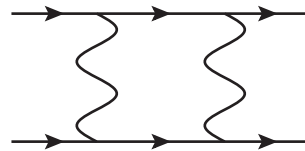
(Minimal Flavor Violation を仮定)

MFV and 3site Model

$$m_1^{ij} \propto \delta^{ij}, \quad M^{ij} \propto \delta^{ij}$$

(Minimal Flavor Violation)

- FCNC @ loop level (ex; Box diagrams)



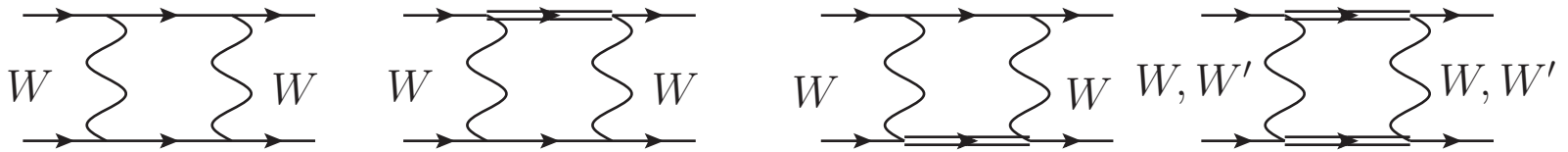
- Minimal Flavor Violation の仮定は量子効果で破れる

$$\mu \frac{d}{d\mu} m_1 = \frac{m_1}{(4\pi)^2} \left[-8g_s^2 - \frac{1}{6}g_2^2 - 3\frac{m_1^2}{f_1^2} \right]$$
$$\mu \frac{d}{d\mu} M = \frac{M}{(4\pi)^2} \left[-8g_s^2 - \frac{9}{2}g_1^2 - \frac{1}{6}g_2^2 - \frac{3}{2}\frac{m_1^2}{f_1^2} - \frac{m_{2u}^2}{f_2^2} - \frac{m_{2d}^2}{f_2^2} \right]$$

- そもそも Minimal Flavor Violation の仮定は強すぎないか?

At one-loop level

FCNC @ loop level (Box diagrams)



太い線 : KK fermions

C^1 を求める

$$\begin{aligned}
 & C_K^1 (\bar{s}_L \gamma^\mu d_L) (\bar{s}_L \gamma_\mu d_L) \\
 & C_{B_d}^1 (\bar{b}_L \gamma^\mu d_L) (\bar{b}_L \gamma_\mu d_L) \\
 & C_{B_s}^1 (\bar{b}_L \gamma^\mu s_L) (\bar{b}_L \gamma_\mu s_L) \\
 & C_D^1 (\bar{c}_L \gamma^\mu u_L) (\bar{c}_L \gamma_\mu u_L).
 \end{aligned}$$

experimental bounds

**Bona et al. [UTfit Collaboration]
JHEP 0803, 049 (2008)**

$$\begin{aligned}
 -9.6 \times 10^{-13} &< \operatorname{Re}(C_K^1) < 9.6 \times 10^{-13} \\
 -4.4 \times 10^{-15} &< \operatorname{Im}(C_K^1) < 2.8 \times 10^{-15} \\
 & |C_{B_d}^1| < 2.3 \times 10^{-13} \\
 & |C_{B_s}^1| < 1.1 \times 10^{-13} \\
 & |C_D^1| < 7.2 \times 10^{-13}
 \end{aligned}$$

One-loop level results

T.A, Chivukula, Simmons,
Tanabashi
(work in progress)

$$C^1 (\bar{q}_{mL} \gamma^\mu q_{nL}) (\bar{q}_{mL} \gamma_\mu q_{nL})$$

$$C^1 \sim \frac{G_F}{\sqrt{2}} \left(\frac{\alpha}{4\pi} \right) \frac{1}{s_W^2} \cdot \sum_{j,k} (V_{jm}^* V_{jn} V_{km}^* V_{kn}) \cdot \frac{M_W^2}{M^2} \frac{m_j^2}{M_W^2} \frac{m_k^2}{M_W^2}$$

M ~ KK fermion mass
~ a few TeV

Parameters	3site model	experimental allowed range
Re C_K^1	$\mathcal{O}(10^{-16})$	$[-9.6, 9.6] \cdot 10^{-13}$
Im C_K^1	$\mathcal{O}(10^{-16})$	$[-4.4, 2.8] \cdot 10^{-15}$
$ C_D^1 $	$\mathcal{O}(10^{-17})$	$< 7.2 \cdot 10^{-13}$
$ C_{B_d}^1 $	$\mathcal{O}(10^{-13})$	$< 2.3 \cdot 10^{-11}$
$ C_{B_s}^1 $	$\mathcal{O}(10^{-12})$	$< 1.1 \cdot 10^{-9}$

量子補正 << 実験値の上限

One-loop level results

T.A, Chivukula, Simmons,
Tanabashi
(work in progress)

$$C^1 (\bar{q}_{mL} \gamma^\mu q_{nL}) (\bar{q}_{mL} \gamma_\mu q_{nL})$$

$$C^1 \sim \frac{G_F}{\sqrt{2}} \left(\frac{\alpha}{4\pi} \right) \frac{1}{s_W^2} \cdot \sum_{j,k} (V_{jm}^* V_{jn} V_{km}^* V_{kn}) \cdot \frac{M_W^2}{M^2} \frac{m_j^2}{M_W^2} \frac{m_k^2}{M_W^2}$$

M ~ KK fermion mass
~ a few TeV

Parameters	3site model	experimental allowed range
Re C_K^1	$\mathcal{O}(10^{-16})$	$[-9.6, 9.6] \cdot 10^{-13}$
Im C_K^1	$\mathcal{O}(10^{-16})$	$[-4.4, 2.8] \cdot 10^{-15}$
$ C_D^1 $	$\mathcal{O}(10^{-17})$	$< 7.2 \cdot 10^{-13}$
$ C_{B_d}^1 $	$\mathcal{O}(10^{-13})$	$< 2.3 \cdot 10^{-11}$
$ C_{B_s}^1 $	$\mathcal{O}(10^{-12})$	$< 1.1 \cdot 10^{-9}$

量子補正 \ll 実験値の上限

Box diagram からのFCNCは十分小さい

MFV and 3site Model

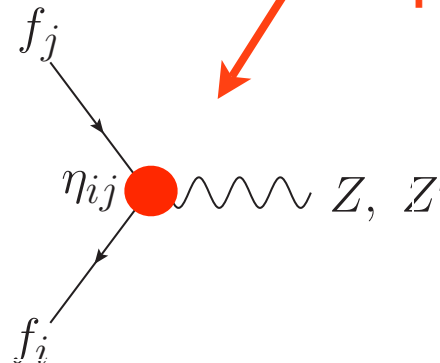
- Minimal Flavor Violation の仮定は量子効果で破れる

$$\mu \frac{d}{d\mu} m_1 = \frac{m_1}{(4\pi)^2} \left[-8g_s^2 - \frac{1}{6}g_2^2 - 3\frac{m_1^2}{f_1^2} \right]$$

$$\mu \frac{d}{d\mu} M = \frac{M}{(4\pi)^2} \left[-8g_s^2 - \frac{9}{2}g_1^2 - \frac{1}{6}g_2^2 - \frac{3}{2}\frac{m_1^2}{f_1^2} - \frac{m_{2u}^2}{f_2^2} - \frac{m_{2d}^2}{f_2^2} \right]$$

- 例えば下のダイアグラムに影響する

$$\eta^{ij} = [(m_1 M^{-1})(m_1 M^{-1})^\dagger]^{ij}$$



$$\mu \frac{d}{d\mu} \eta \propto \frac{1}{(4\pi)^2} \left(\frac{m_u m_u^\dagger + m_d m_d^\dagger}{v^2} \right) + (\text{flavor independent terms})$$

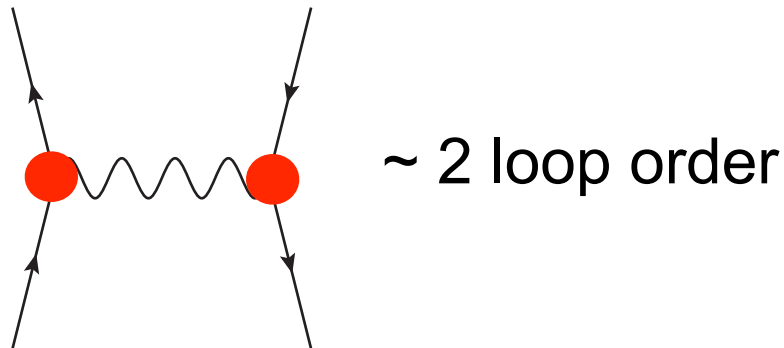
MFV and 3site Model

- ランニングの間隔が狭い

$$\ln \frac{\Lambda}{M} \sim \ln \frac{M}{M_{W'}} \sim \ln \frac{M_{W'}}{M_W} \sim 1$$

$$\begin{aligned}\Lambda &\sim 4\text{TeV} \\ M &\sim \text{a few TeV} \\ M_{W'} &\sim 500\text{GeV}\end{aligned}$$

- フレーバーを破るカップリングは2つ必要



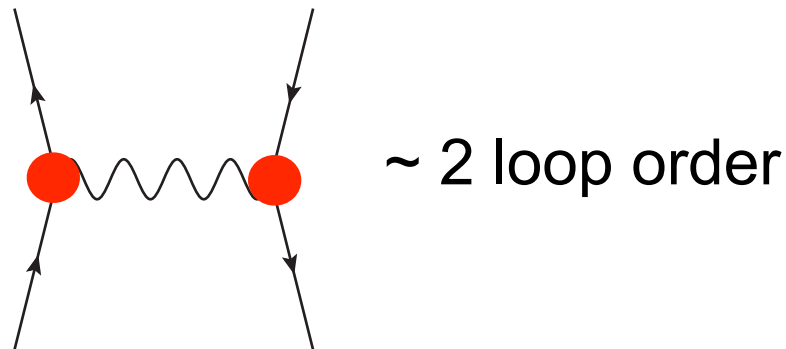
MFV and 3site Model

- ランニングの間隔が狭い

$$\ln \frac{\Lambda}{M} \sim \ln \frac{M}{M_{W'}} \sim \ln \frac{M_{W'}}{M_W} \sim 1$$

$$\begin{aligned}\Lambda &\sim 4\text{TeV} \\ M &\sim \text{a few TeV} \\ M_{W'} &\sim 500\text{GeV}\end{aligned}$$

- フレーバーを破るカップリングは2つ必要



MFV の破れの効果は十分小さい

MFV からのずれ

- Minimal Flavor Violation の仮定は強すぎないか?
- どのくらいずれてもいいのか見てみる

対角成分は

S パラメータ $\eta^{diag} \simeq 2 \frac{M_W^2}{M_{W'}^2} = 0.08 \left(\frac{400 \text{ GeV}}{M_{W'}} \right)^2$

Z の崩壊 $\frac{\Gamma(Z \rightarrow b\bar{b})}{\Gamma(Z \rightarrow hadron)}, \frac{\Gamma(Z \rightarrow c\bar{c})}{\Gamma(Z \rightarrow hadron)}$

$\Delta F = 2$ $D^0 - \bar{D}^0$

非対角成分は

$\Delta F = 2$ $K^0 - \bar{K}^0, B_d^0 - \bar{B}_d^0, B_s^0 - \bar{B}_s^0$

MFV からのずれ

$$|\eta^{\text{quark}}| = 2 \left(\frac{M_W}{M_{W'}} \right)^2 \left[1 + \left(\frac{M_{W'}}{400\text{GeV}} \right)^2 \begin{pmatrix} < 0.0235 & < 0.0060 & < 0.0285 \\ < 0.0060 & 0 & < 0.202 \\ < 0.0285 & < 0.202 & < 0.306 \end{pmatrix} \right]$$

- ほぼ $\eta^{ij} \propto \delta^{ij}$ であることがわかる
- $m_1^{ij} \propto \delta^{ij}$, $M^{ij} \propto \delta^{ij}$ となるUVの理論を示唆

内容

1. 研究の目的など
2. スリーサイトヒッグスレスモデル
3. フレーバーの物理からの制限
4. まとめ

まとめと展望

- ヒッグスレスモデル：ヒッグスの見つからない場合の一つの可能性
- 重要なのは、1st KK モードが現象論に効くこと
- 有効理論（3site Model）で現象論を調べるのが効率的
- 電弱精密測定とは無矛盾
- 今回、フレーバーの物理と無矛盾であることを調べた

BACK-UP SLIDES

3site model

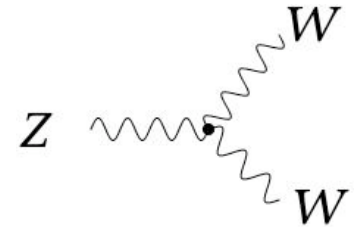
W' mass from WWZ coupling

R.S.Chivukula et.al
Phys.Rev.D74:075011 (2006)

constraint from WWZ coupling (LEP-II)

K.Hagiwara, R.D.Peccei, D.Zeppenfeld, and K.Hikasa,
Nucl.Phys. B282,253(1987)

$$\mathcal{L} = -ig_{WZZ}^{SM} (1 + \Delta\kappa_Z) W_\mu^+ W_\nu^- Z^{\mu\nu} \\ -ig_{WZZ}^{SM} (1 + \Delta g_1^Z) (W_{\mu\nu}^+ W_\nu^- - W_{\mu\nu}^- W_\nu^+) Z_\nu$$



3サイトヒッグスレスモデルでは

$$\Delta\kappa_Z = \Delta g_1^Z = \frac{1}{2c^2} \frac{M_W^2}{M_{W'}^2} + \mathcal{O}\left(\frac{M_W^4}{M_{W'}^4}\right) \quad c = \frac{M_W}{M_Z}$$

LEP-II からの制限

$$\Delta g_1^Z < 0.028 \text{ (95\%C.L.)}$$



$$M_{W'} \geq 380 \text{ GeV}$$

One loop level

T.A, S.Matsuzaki, M.Tanabashi Phys.Rev.D78:055020,2008

$$\alpha S = -4s^2 \frac{M_W}{M_{W'}} \frac{g_{W'ff}}{g_{Wff}} - \frac{\alpha}{24\pi} \frac{M_{W'}}{M_W} \frac{g_{W'ff}}{g_{Wff}} \ln \frac{M_{W'}^2}{M_F^2} - \frac{\alpha}{24\pi} \ln \frac{M_{W'}^2}{M_F^2} + \frac{\alpha}{12\pi} \ln \frac{\Lambda^2}{M_{Href}^2}$$
$$\alpha T = \frac{\sqrt{2}G_F}{64\pi^2} \left(\frac{M_t}{M_F} \right)^2 \frac{M_t^2}{\left(\frac{M_W}{M_{W'}} \right)^4 \left[1 - \frac{M_{W'}}{M_W} \frac{g_{W'ff}}{g_{Wff}} \right]^2} - \frac{3\alpha}{32\pi c^2} \ln \frac{M_{W'}^2}{M_{Href}^2} - \frac{3\alpha}{32\pi c^2} \ln \frac{\Lambda^2}{M_{Href}^2}$$

• これらから以下の量を制限

- ▶ KK fermion mass
- ▶ W'ff coupling

パラメータ

$$\left(M_{W'}, \frac{g_{W'ff}}{g_{Wff}}, M_F, \Lambda \right)$$

Flavor structure

Yukawa and mass terms

T.A, S Matsuzaki, M. Tanabashi,
Phys.Rev.D78:055020,2008.

$$-(\bar{q}_{L0})^i U_1 (m_1)^{ij} (q_{R1})^j - (\bar{q}_{L1})^i M^{ij} (q_{R1})^j - (\bar{q}_{L1})^i U_2 \begin{pmatrix} (m_{2u})^{ij} & 0 \\ 0 & (m_{2d})^{ij} \end{pmatrix} \begin{pmatrix} (u_{2R})^j \\ (d_{2R})^j \end{pmatrix} + h.c.$$

Assumption in original 3site paper

$$m_1^{ij} \propto \delta^{ij}, \quad M^{ij} \propto \delta^{ij}$$

- • Dangerous FCNC does not occur at tree level
• Flavor violation is carried by m_{2u} and m_{2d}

This assumption is unstable under the loop corrections

$$\begin{aligned} \mu \frac{d}{d\mu} m_1 &= \frac{m_1}{(4\pi)^2} \left[-8g_s^2 - \frac{1}{6}g_2^2 - 3\frac{m_1^2}{f_1^2} \right] \\ \mu \frac{d}{d\mu} M &= \frac{M}{(4\pi)^2} \left[-8g_s^2 - \frac{9}{2}g_1^2 - \frac{1}{6}g_2^2 - \frac{3}{2}\frac{m_1^2}{f_1^2} - \frac{m_{2u}^2}{f_2^2} - \frac{m_{2d}^2}{f_2^2} \right] \end{aligned}$$

FCNC and 3site Model

$$\eta = (m_1 M^{-1})(m_1 M^{-1})^\dagger + (\text{loop corrections}) + \eta(\Lambda)$$

これまでの研究ではFCNCを避けるために

- $m_1^{ij} \propto \delta^{ij}$, $M^{ij} \propto \delta^{ij}$ を仮定
- $\eta(\Lambda) = 0$ を仮定

しかし、この仮定を保証する対称性はない

この仮定の下でも量子補正でFCNCが生じる

今回は

- η^{ij} へのFCNCからの制限 (tree level)

η への制限

対角成分は

S パラメータ $\eta^{diag} \simeq 2 \frac{M_W^2}{M_{W'}^2} = 0.08 \left(\frac{400 \text{ GeV}}{M_{W'}} \right)^2$

Z の崩壊 $\frac{\Gamma(Z \rightarrow \mu\mu)}{\Gamma(Z \rightarrow ee)}, \frac{\Gamma(Z \rightarrow \tau\tau)}{\Gamma(Z \rightarrow ee)}, \frac{\Gamma(Z \rightarrow b\bar{b})}{\Gamma(Z \rightarrow hadron)}, \frac{\Gamma(Z \rightarrow c\bar{c})}{\Gamma(Z \rightarrow hadron)}$

$\Delta F = 2$ $D^0 - \bar{D}^0$

非対角成分は

$\Delta F = 2$ $K^0 - \bar{K}^0, B_d^0 - \bar{B}_d^0, B_s^0 - \bar{B}_s^0$

LFV $\mu^- \rightarrow e^- e^+ e^-$
 $\tau^- \rightarrow \mu^- e^+ e^-$
 $\tau^- \rightarrow e^- \tau^+ \tau^-$

η への制限

$$\eta^{\text{lepton}} = 2 \left(\frac{M_W}{M_{W'}} \right)^2 \left[1 + \left(\frac{M_{W'}}{400\text{GeV}} \right)^2 \begin{pmatrix} 0 & < 0.00013 & < 0.034 \\ < 0.00013 & [-0.063, 0.043] & < 0.036 \\ < 0.034 & < 0.036 & [-0.11, 0.012] \end{pmatrix} \right]$$

$$|\eta^{\text{quark}}| = 2 \left(\frac{M_W}{M_{W'}} \right)^2 \left[1 + \left(\frac{M_{W'}}{400\text{GeV}} \right)^2 \begin{pmatrix} < 0.0235 & < 0.0060 & < 0.0285 \\ < 0.0060 & 0 & < 0.202 \\ < 0.0285 & < 0.202 & < 0.306 \end{pmatrix} \right]$$

- ほぼ $\eta^{ij} \propto \delta^{ij}$ であることがわかる
- $\eta^{ij} \propto \delta^{ij}$ となるUVの理論を示唆

Collider Physics

展望：コライダー物理

- 発見すべきは W'^{\pm}, Z'

$$380\text{GeV} \leq M_{W'} \leq 630\text{GeV}$$

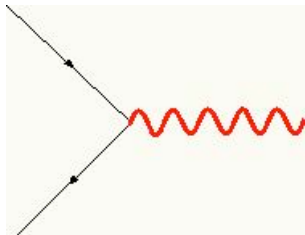
$$1.8\text{TeV} \leq M_F$$

- 崩壊先はゲージボソン

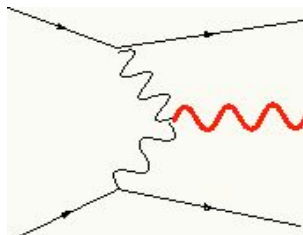
$$BF(W'^{\pm} \rightarrow W^{\pm} Z) \sim 99\%$$

$$BF(Z' \rightarrow W^+ W^-) \sim 99\%$$

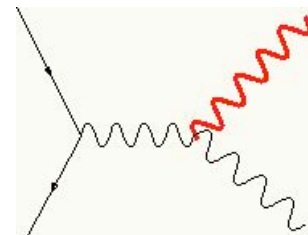
- 生成方法は



DY



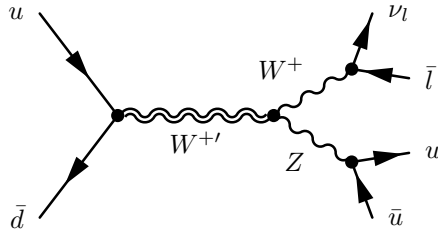
VBF



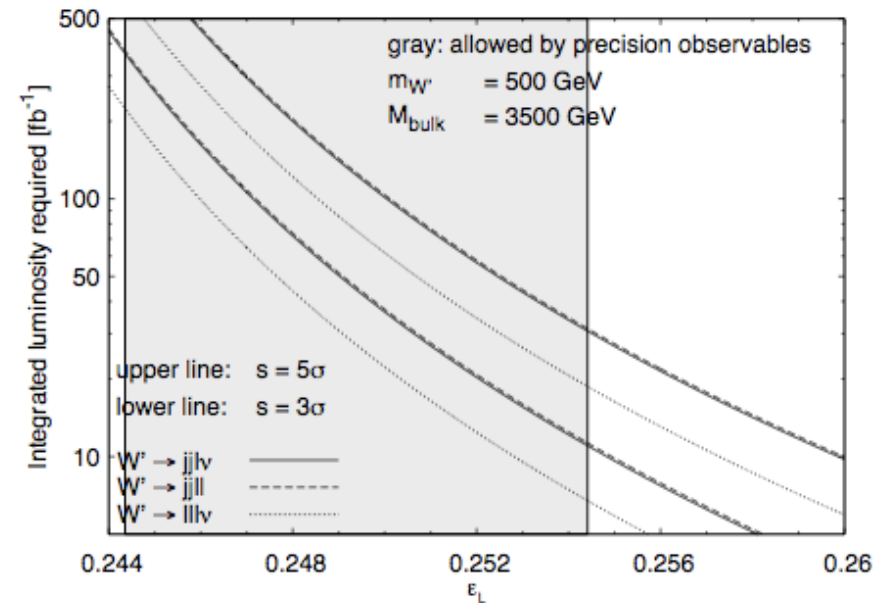
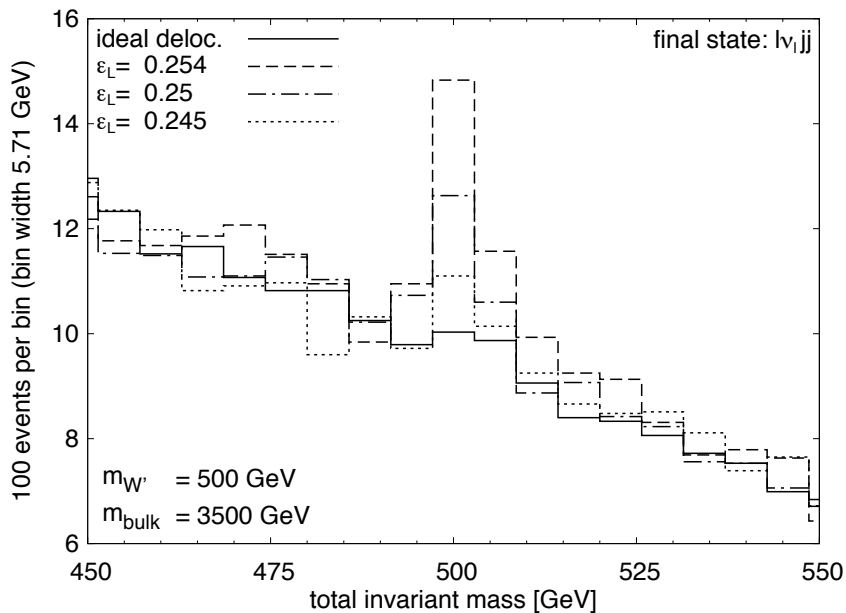
AP

Drell-Yan production of W'

Thorsten Ohl, Christian Speckner
Phys.Rev.D78:095008,2008



崩壊率は、 $W' \rightarrow WZ$ がほぼ100%



$M_{W'} = 500$ GeV

パラメータによっては見えそう

3site Model

R.S.Chivukula et.al Phys.Rev.D74:075011 (2006)
R.Casalbuoni et.al Phys.Lett.B155(1985) 95

フェルミオンセクター

ゲージ対称性

(quark case)	$SU(2)_0$	$SU(2)_1$	$U(1)_2$
ψ_{L0}	2	1	1/6
ψ_{L1}, ψ_{R1}	1	2	1/6
$\psi_{R2} \equiv \begin{pmatrix} u_{R2} \\ d_{R2} \end{pmatrix}$	1	1	2/3 -1/3

3site Model

R.S.Chivukula et.al Phys.Rev.D74:075011 (2006)
R.Casalbuoni et.al Phys.Lett.B155(1985) 95

フェルミオンセクター

ゲージ対称性

(quark case)	$SU(2)_0$	$SU(2)_1$	$U(1)_2$
ψ_{L0}	2	1	1/6
ψ_{L1}, ψ_{R1}	1	2	1/6
$\psi_{R2} \equiv \begin{pmatrix} u_{R2} \\ d_{R2} \end{pmatrix}$	1	1	2/3 -1/3

湯川相互作用

$$-(\bar{\psi}_{L0})^i U_1 (m_1)^{ij} (\psi_{R1})^j - (\bar{\psi}_{L1})^i M^{ij} (\psi_{R1})^j - (\bar{\psi}_{L1})^i U_2 \begin{pmatrix} (m_{2u})^{ij} & 0 \\ 0 & (m_{2d})^{ij} \end{pmatrix} \begin{pmatrix} (u_{2R})^j \\ (d_{2R})^j \end{pmatrix} + h.c.$$

i, j : generation indices

$$U_i = \exp \left(i \frac{\tau^a \pi_i^a}{f_i} \right)$$

Effective theory below KK fermion mass scale

- Assume eigenvalues of M are large
- Integrate out q_{L1} and q_{R1}

$$\begin{aligned}\mathcal{L}_{eff} \ni & - \bar{q}_{L0} \left[\gamma^\mu (iD_\mu U_1) U_1^\dagger \right] \left[(m_1 M^{-1}) (m_1 M^{-1})^\dagger \right] q_{L0} \\ & + \left(\bar{u}_{R2} \ 0 \right) \left[\gamma^\mu U_2^\dagger (iD_\mu U_2) \right] \left[(m_1^{-1} m_u)^\dagger (m_1^{-1} m_u) \right] \begin{pmatrix} u_{R2} \\ 0 \end{pmatrix} \\ & + \left(0 \ \bar{d}_{R2} \right) \left[\gamma^\mu U_2^\dagger (iD_\mu U_2) \right] \left[(m_1^{-1} m_d)^\dagger (m_1^{-1} m_d) \right] \begin{pmatrix} 0 \\ d_{R2} \end{pmatrix} \\ & + \left[\left(\bar{u}_{R2} \ 0 \right) \left[\gamma^\mu U_2^\dagger (iD_\mu U_2) \right] \left[(m_1^{-1} m_u)^\dagger (m_1^{-1} m_d) \right] \begin{pmatrix} 0 \\ d_{R2} \end{pmatrix} + h.c. \right]\end{aligned}$$

We can redefine mass terms

$$m_u \equiv m_1 M^{-1} m_{u2}, \quad m_d \equiv m_1 M^{-1} m_{d2}$$

3site Higgsless Model

- Left-handed FCNC

$$\begin{aligned}
 \mathcal{L}_{eff} \ni & - \bar{q}_{L0} \left[\gamma^\mu (iD_\mu U_1) U_1^\dagger \right] \left[(m_1 M^{-1})(m_1 M^{-1})^\dagger \right] q_{L0} \\
 & + \left(\bar{u}_{R2} \ 0 \right) \left[\gamma^\mu U_2^\dagger (iD_\mu U_2) \right] \left[(m_1^{-1} m_u)^\dagger (m_1^{-1} m_u) \right] \begin{pmatrix} u_{R2} \\ 0 \end{pmatrix} \\
 & + \left(0 \ \bar{d}_{R2} \right) \left[\gamma^\mu U_2^\dagger (iD_\mu U_2) \right] \left[(m_1^{-1} m_d)^\dagger (m_1^{-1} m_d) \right] \begin{pmatrix} 0 \\ d_{R2} \end{pmatrix} \\
 & + \left[\left(\bar{u}_{R2} \ 0 \right) \left[\gamma^\mu U_2^\dagger (iD_\mu U_2) \right] \left[(m_1^{-1} m_u)^\dagger (m_1^{-1} m_d) \right] \begin{pmatrix} 0 \\ d_{R2} \end{pmatrix} + h.c. \right]
 \end{aligned}$$

- No FCNC if m_1 and M are flavor blind (in original 3site case)
- To avoid a large contribution to S param.

$$(m_1 M^{-1})^{diag} \approx \epsilon_L^{ideal} \equiv \sqrt{2} \frac{M_W}{M_{W'}} = 0.28 \left(\frac{M_{W'}}{400 \text{ GeV}} \right)$$

3site Higgsless Model

- Right-handed FCNC

$$\begin{aligned} \mathcal{L}_{eff} \ni & - \bar{q}_{L0} \left[\gamma^\mu (iD_\mu U_1) U_1^\dagger \right] \left[(m_1 M^{-1})(m_1 M^{-1})^\dagger \right] q_{L0} \\ & + \left(\bar{u}_{R2} \ 0 \right) \left[\gamma^\mu U_2^\dagger (iD_\mu U_2) \right] \left[(m_1^{-1} m_u)^\dagger (m_1^{-1} m_u) \right] \begin{pmatrix} u_{R2} \\ 0 \end{pmatrix} \\ & + \left(0 \ \bar{d}_{R2} \right) \left[\gamma^\mu U_2^\dagger (iD_\mu U_2) \right] \left[(m_1^{-1} m_d)^\dagger (m_1^{-1} m_d) \right] \begin{pmatrix} 0 \\ d_{R2} \end{pmatrix} \\ & + \left[\left(\bar{u}_{R2} \ 0 \right) \left[\gamma^\mu U_2^\dagger (iD_\mu U_2) \right] \left[(m_1^{-1} m_u)^\dagger (m_1^{-1} m_d) \right] \begin{pmatrix} 0 \\ d_{R2} \end{pmatrix} + h.c. \right] \end{aligned}$$

- No FCNC if m_1 is flavor blind
- Very small effect because of suppression by mass ($m_{u,d} \ll m_1$)

3site Higgsless Model

- Right-handed not FCNC

$$\begin{aligned} \mathcal{L}_{eff} \ni & - \bar{q}_{L0} \left[\gamma^\mu (iD_\mu U_1) U_1^\dagger \right] \left[(m_1 M^{-1})(m_1 M^{-1})^\dagger \right] q_{L0} \\ & + \left(\bar{u}_{R2} \ 0 \right) \left[\gamma^\mu U_2^\dagger (iD_\mu U_2) \right] \left[(m_1^{-1} m_u)^\dagger (m_1^{-1} m_u) \right] \begin{pmatrix} u_{R2} \\ 0 \end{pmatrix} \\ & + \left(0 \ \bar{d}_{R2} \right) \left[\gamma^\mu U_2^\dagger (iD_\mu U_2) \right] \left[(m_1^{-1} m_d)^\dagger (m_1^{-1} m_d) \right] \begin{pmatrix} 0 \\ d_{R2} \end{pmatrix} \\ & + \left[\left(\bar{u}_{R2} \ 0 \right) \left[\gamma^\mu U_2^\dagger (iD_\mu U_2) \right] \left[(m_1^{-1} m_u)^\dagger (m_1^{-1} m_d) \right] \begin{pmatrix} 0 \\ d_{R2} \end{pmatrix} + h.c. \right] \end{aligned}$$

- No generation mixing if m_1 is flavor blind
- Very small effect because of suppression by mass ($m_{u,d} \ll m_1$)